

Mapeamento dinâmico de prioridades para provimento de QoS em VPN MPLS

Marcel Cavalcanti de Castro e Walter da Cunha Borelli

Abstract— This work describes a proposal for the implementation of quality of service (QoS) in VPN MPLS architecture. A new system was developed based on the VPN MPLS architecture, in which an extension is being proposed to construct a dynamic mapping of VPN clients priorities into service provider network through the insertion of priority field at *vrf* table and MP-BGP protocol modifications to exchange such informations. The new proposal was specified using *SDL*(Specification and Description Language) through the *SDL TAU Suite*, and the performance analysis was realized through the *Opnet Modeler* simulator.

Resumo— Este trabalho apresenta uma proposta de implementação de qualidade de serviço (QoS) na arquitetura VPN MPLS. Foi desenvolvido um novo sistema com base nessa arquitetura e sugerido uma proposta de expansão com a criação do conceito de mapeamento dinâmico de prioridades dos clientes VPN na rede do provedor de serviço, através da inserção dos valores de prioridade de rotas na tabela *vrf* e modificações realizadas no protocolo MP-BGP para troca destas novas informações. A proposta foi especificada em *SDL* (*Specification and Description Language*) utilizando o software *SDL TAU Suite*¹, e a análise de desempenho foi realizada com o uso do simulador *Opnet Modeler*².

Palavras-Chave— VPN, MPLS, MP-BGP, Qualidade de Serviço, Sinalização, Provedor de Serviço, *SDL - Specification and Description Language*, Opnet Modeler, Análise de Desempenho.

I. INTRODUÇÃO

Corporações e empresas estão se tornando cada vez mais dependentes de suas redes para comunicação de dados e serviços de telecomunicações. Atualmente a necessidade de interconectar redes corporativas em lugares geograficamente distribuídos tornou-se cada vez mais importante.

Com a iniciativa de alguns provedores de serviço, as organizações *itu-t* (*international telecommunications union - telecommunication standardization sector*) e *ietf* (*internet engineering task force*) reconheceram a importância de se iniciar um trabalho de padronização da tecnologia *vpn* (*rede privada virtual*). O grupo de estudo 13 do *itu-t* (*itu-t study group 13*) iniciou o processo de definição de requisitos para *vpn* [9] e a classificação das propostas técnicas de *vpn* para serviços de nível 3 sobre tecnologia *mpls* [8] em Maio de 2000. Alguns meses depois, o *ietf* iniciou a discussão que levou a criação do grupo de trabalho *ppvpn* (*provider provisioned VPN*) [16] [1] no início de 2001, incumbido de padronizar as propostas

Marcel Cavalcanti de Castro , CPqD Telecom & IT Solutions, e Walter da Cunha Borelli, DT/FEEC/UNICAMP, Campinas, Brasil, E-mails: mcastro@cpqd.com.br, borelli@dt.feec.unicamp.br.

¹Pacote Telelogic *SDL TAU Suite* 4.2 : adquirido pelo DT/FEEC/UNICAMP através do Projeto Temático - FAPESP (Proc. 91/3660-0)

²Pacote Opnet Modeler v9.1 : adquirido pelo CPqD através do Projeto de Pesquisa Redes de Próxima Geração(Projeto NGN)

de *vpn* para serviços de nível 2 e 3. Baseado na classificação usada pelos órgãos padronizadores citados, as propostas de *vpn* são classificadas de acordo com a responsabilidade de gerenciamento; *vpn* gerenciada pelo cliente (*customer edge - ce based vpn*) ou *vpn* gerenciada pelo provedor (*provider edge - pe based vpn*).

Em 2003 o grupo de trabalho *ppvpn* do *ietf* foi dividido em dois grupos de trabalho, o *l3vpn* (*layer 3 vpn*) responsável por padronizar as propostas de *vpn* para serviços de nível 3 e o *l2vpn* (*layer 2 vpn*) responsável por padronizar as propostas de *vpn* para serviços de nível 2. A partir do grupo *l3vpn*, três propostas surgiram como padronização para *vpn*. São elas; *vpn ce-based ipsec* [10], *vpn virtual router ip* [15] e *vpn bgp/mpls ip* [4] [3].

Este trabalho está baseado na arquitetura *vpn bgp/mpls ip*, também denominada arquitetura *vpn-mpls*, onde o provedor de serviço usa o protocolo *mp-bgp* (*multiprotocol border gateway protocol*) padronizado pelo *ietf* [18] no *backbone* da rede. O protocolo *mp-bgp* troca informações de roteamento de cada *vpn* entre todos os *sites vpn* pertencentes à aquela *vpn*. A arquitetura também faz uso dos rótulos *mpls* para identificar e separar o tráfego de diferentes *vpns*, sendo possível a implementação de qualidade de serviço através do mapeamento das prioridades do cliente na rede do provedor de serviço. É importante ressaltar que este mapeamento é criado na contratação do serviço *vpn*, sendo possível alterá-lo apenas pelo provedor de serviços, ou seja um mapeamento estático do ponto de vista do cliente *vpn*.

Neste contexto, este trabalho desenvolve uma proposta em *SDL* de expansão da arquitetura *vpn-mpls* para criação de um mapeamento dinâmico das prioridades dos clientes *vpn* na rede do provedor de serviço. Logo, de acordo com as necessidades dos clientes, e levando-se em consideração os níveis de serviços contratados, o cliente *vpn* pode ao longo do tempo criar e/ou modificar prioridades de suas aplicações. Este mapeamento é implementado através da inserção de um novo parâmetro na tabela *vrf*, que representa a prioridade da rota do cliente *vpn*, e a modificação do protocolo *mp-bgp* para o transporte dos valores de prioridade de rota entre o cliente *vpn* e provedor de serviço, estabelecendo-se novos níveis de qualidade de serviço em tempo real. Baseado na proposta de expansão, foi realizado a análise de desempenho através de simulações do mapeamento de prioridades da arquitetura de serviços diferenciados implementada no cliente *VPN* na rede *mpls* do provedor de serviços.

II. ARQUITETURA VPN MPLS

A arquitetura *vpn-mpls*, também denominada arquitetura *vpn bgp/mpls ip*, define mecanismos que permitem o provedor

de serviço utilizar seu *backbone IP* para prover serviços *VPN* à seus clientes. Nesta arquitetura, o protocolo *mp-bgp* (*multiprotocol bgp*) [18] é usado para distribuir informações de roteamento dos clientes *vpn*, e o *mpls* para envio do tráfego dos clientes através do *backbone* do provedor de serviço.

Nesta arquitetura, o IETF padronizou através da RFC 2858 [18] o *mp-bgp* como uma extensão do *bgp* [19] para transportar informações de roteamento de múltiplos protocolos de rede, como; IPv6 ou IPX.

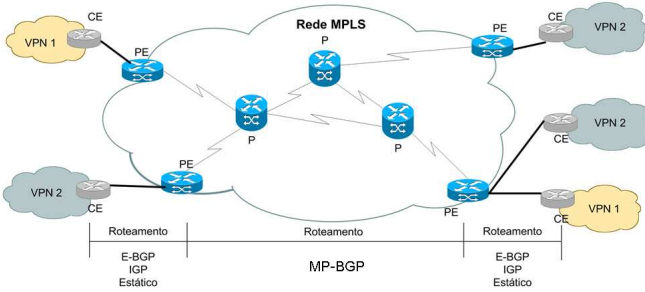


Fig. 1. Componentes da arquitetura *vpn-mpls* [14]

A figura 1 apresenta os componentes de uma arquitetura *vpn-mpls*. O equipamento de borda do cliente, também conhecido como roteador *ce* (*customer edge*) proporciona aos clientes acesso a rede do provedor de serviço. Através da conexão entre os roteadores *ce* e o provedor de serviço (Rede *MPLS*), o cliente *vpn* divulga suas informações de rotas à toda rede, e por onde é informado de novas rotas adicionadas à rede por outros *sites vpn*. O roteador *ce* não implementa a tecnologia *mpls*, e representa o ponto de conexão em que os pacotes entram e saem da rede do cliente *vpn*, atravessando a rede *mpls* do provedor.

O equipamento de borda do provedor, também conhecido como roteador *pe* (*provider edge*), troca informações de roteamento com o cliente *vpn* conectado ao roteador *ce* e com a rede do provedor de serviço. A troca de informações com o roteador *ce* (cliente *vpn*) ocorre através de roteamento estático ou com o uso de protocolos de roteamento, como; *rip* (*routing information protocol*), *ospf* (*open shortest path first*) ou *bgp* (*exterior border gateway protocol*). Já a troca de informações com a rede do provedor de serviços ocorre através do uso de dois protocolos de roteamento, o primeiro para troca de informações de rota da rede do provedor, como: *rip* ou *ospf*, e o segundo para troca de informações de roteamento dos cliente *vpn*, através do protocolo *mp-bgp*.

Cada roteador *pe* mantém uma tabela de roteamento independente para cada cliente *vpn* diretamente conectado, denominada tabela *vrf*(*virtual routing and forwarding*). Após a instalação das rotas locais do cliente *vpn* na tabela *vrf*, o roteador *pe* troca estas informações de roteamento com outros roteadores *pe* que possuem *sites* pertencentes a mesma *VPN*.

Na figura 1, os equipamentos de núcleo do provedor, denominados roteadores *p* (*provider*), são roteadores que não estão ligados diretamente aos roteadores *ce*. Roteadores *p* exercem a função de roteadores comutadores de rótulos *mpls*, ou roteadores *lsr* (*label switching routers*), comutando os tráfegos de dados dos clientes *vpn* entre os roteadores *pe*. Como o

tráfego é enviado através do *backbone mpls* usando hierarquia de rótulos, os roteadores *p* somente necessitam manter rotas para os roteadores *pe*, não necessitando manter informações de roteamento *vpn*, aumentando assim a escalabilidade no *backbone mpls* [11].

A. Qualidade de Serviço na Arquitetura *VPN MPLS*

Comparadas as estratégias de *vpn* nível 2 (*vpn* com uso da tecnologia *frame relay* ou *atm*), as *vpns* nível 3 herdam a flexibilidade e a simplicidade das redes *IP*, refletindo-se em uma arquitetura escalável [11], devido ao grande potencial de crescimento das redes *IP*. Deve-se ressaltar que este não é o tipo ideal de rede com suporte a qualidade de serviço [12], devido à característica implícita de melhor esforço (*best effort*) das redes *IP*.

Segundo o IETF [4], a implementação de qualidade de serviço na arquitetura *vpn-mpls* pode ocorrer com o uso da arquitetura de serviços diferenciados (arquitetura *difffserv* [17]) na rede do cliente *vpn*, combinado ao uso do *mpls* no *backbone* do provedor. Através desta combinação, as aplicações dos clientes *vpn* são tratadas na borda da rede do provedor de serviço pelos mapeamentos de prioridades da arquitetura *difffserv* no cabeçalho *mpls*, de acordo com o nível de qualidade de serviço contratado pelo cliente [5]. Alguns trabalhos como [13], [6], [7] e [12] discutem esta forma de provimento de qualidade de serviço para arquitetura *vpn-mpls*. É importante ressaltar que estes trabalhos levam em consideração um mapeamento estático entre as prioridades do cliente e os acordos de nível de serviço contratados, ou seja, o cliente *vpn* não consegue estabelecer novos níveis de qualidade de serviços em tempo real.

A medida que o cliente *vpn* possui aplicações que em determinados horários ou por determinados instantes de tempo não necessitem da mesma prioridade na rede do provedor, se torna importante a possibilidade de modificação dos parâmetros de prioridades, a fim de reduzir custos com a contratação do serviço *vpn* ou garantir qualidade de serviço a outras aplicações que antes não eram prioritárias. Com o intuito de possibilitar esta implementação, foi desenvolvido neste artigo a proposta de expansão da arquitetura *vpn mpls* possibilitando a criação e/ou modificação dos parâmetros de prioridade dos clientes *vpn* através da criação do mapeamento dinâmico de prioridades a ser utilizado pela rede do provedor de serviço.

B. Proposta de Expansão da Arquitetura *VPN MPLS*

Este trabalho propõe uma expansão da arquitetura *vpn-mpls* para provimento em tempo real de qualidade de serviço fim-a-fim. A proposta de expansão está baseada na possibilidade de estabelecimentos de mapeamento dinâmico de prioridades (mapeamento da arquitetura de serviços diferenciados no *mpls*) de acordo com a necessidade do cliente *vpn*.

A criação deste mapeamento dinâmico de prioridades entre os clientes *vpn* (roteador *ce*) e o provedor de serviço (roteador *pe*) é realizado através da inserção de parâmetros na tabela *vrf* implementada no roteador *pe*. Estes parâmetros representam as prioridades das rotas dos clientes *vpn*, e através de uma modificação do protocolo *mp-bgp* é possível a troca destes

valores de prioridade das rotas entre o roteador *ce* e *pe*. Estas modificações são realizadas através do uso da especificação formal em *SDL*.

De acordo com a proposta, a troca de informações de prioridade entre o roteador *ce* e o roteador *pe* possibilita o estabelecimento de novos níveis de qualidade de serviço através da inserção de novos mapeamentos, ou modificação de mapeamentos já existentes. Os valores de prioridade das rotas a serem informados pelo cliente *vpn* são obtidos a partir do campo *dscp* da arquitetura de serviços diferenciados, e transportados pela modificação realizada no protocolo *mp-bgp*, dentro dos estados *open sent* e *established* da máquina de estado do protocolo. As modificações dos estados visam proporcionar o estabelecimento de sessões *mp-bgp* através da troca de mensagens *keepalive* e consequentemente a troca de informações de prioridade de rotas através do uso do campo *route target* da mensagem *update*, entre o roteador *ce* e o roteador *pe*.

Com as informações de rotas e prioridades das rotas, o roteador *pe* monta a tabela de mapeamento de prioridades do cliente *vpn*. De acordo com a necessidade do cliente, cada mapeamento contido nesta tabela pode ter seus valores de prioridade alterados através da troca de mensagens *update*, criando-se assim o conceito de mapeamento dinâmico de prioridades do cliente *vpn*.

III. ESPECIFICAÇÃO FORMAL DA PROPOSTA DE EXPANSÃO DA ARQUITETURA VPN MPLS

A proposta de expansão sugerido neste trabalho é representado através da especificação formal utilizando as estruturas em *SDL* de sistemas, blocos, processos e procedimentos, com orientação à objetos através do uso da ferramenta *SDL TAU Suite* [2]. A proposta, representada pelo sistema denominado *basicarquitecture-scenario2* é apresentado na figura 2.

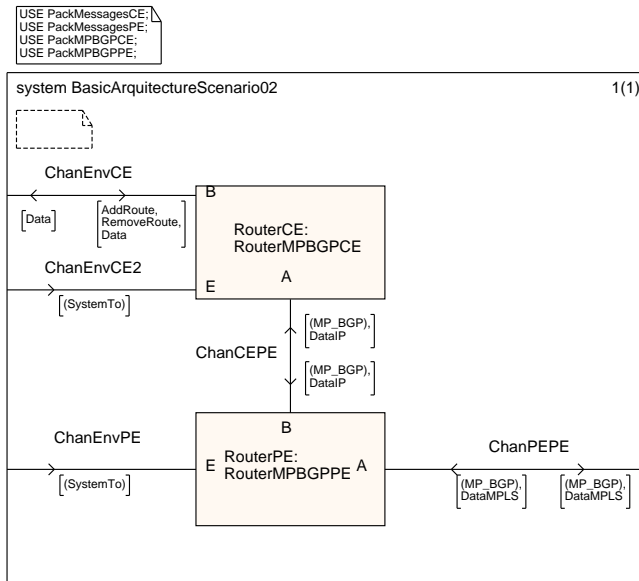


Fig. 2. Sistema *basicarquitecture-scenario2*

Os dois componentes principais da arquitetura *vpn-mpls* (roteador *ce* e roteador *pe*) são representados no sistema

da figura 2 pelos blocos *routermpbgp-ce* e *routermpbgp-pe*. Através do retângulo com uma borda dobrada localizado na parte superior esquerda da figura 2, o sistema *basicarquitecture-scenario2* faz uso dos pacotes(*packmessage-ce*, *packmessage-pe*, *packbasicrouter-pe*, *packmpbgp-ce* e *packmpbgp-pe*) especificados através da cláusula USE. As interações entre o bloco *routermpbgp-ce*, bloco *routermpbgp-pe* e o ambiente externo são representados pelos canais de comunicação *chan-cepe*, *chan-envce*, *chan-envce2*, *chan-envpe* e *chan-pepe*.

O bloco *routermpbgp-pe*, que faz parte do pacote *packmpbgp-pe*, é a especificação do roteador *pe* da proposta de expansão da arquitetura *vpn-mpls*. Este bloco é responsável por trocar informações de rotas e prioridades de rotas do cliente *vpn* via protocolo *mp-bgp* com o roteador *ce* (bloco *routermpbgp-ce*) via canal *chan-cepe*, e com os roteadores *pe* pertencentes a rede do provedor de serviço, representado nesta especificação pelo ambiente externo, via canal *chan-pepe*.

Na linguagem *SDL*, através do uso de técnicas de orientação à objetos, é possível reutilizar especificações e redefinir-las integral ou parcialmente. Redefinições de blocos e processos foram utilizadas com o propósito de se criar a proposta de expansão a partir da padronização da arquitetura *vpn-mpls*. As redefinições feitas no processo *prouter-pe* (redefinição dos estados *open sent* e *established*) visam permitir o roteador *pe* estabelecer sessões *mp-bgp* com o roteador *ce*, e através destas sessões trocar informações de prioridade sugeridas pelo cliente *vpn* através do roteador *ce*. A redefinição feita no estado *open sent* permitiu o processo *prouter-pe* estabelecer sessões *mp-bgp* com o processo *prouter-ce*(roteador *ce*) e com o ambiente externo (roteadores *pe* da rede do provedor) através da troca de sinais *keepalive*. A troca de informações de prioridade de rotas se torna possível através da redefinição do estado *established*, mostrada na figura 3, que passa a tratar o campo *route target* do sinal *update* proveniente do roteador *ce* como valor de prioridade da rota.

De acordo com a figura 3, estando o processo no estado *established*, ao receber um sinal *update*, o processo verifica se existe rota a ser removida da tabela *vrf*, através da variável *droute* do sinal *update*. Se existir rota a ser removida, esta é removida através da chamada ao procedimento *vrf-uninstall*. Após a remoção da rota, o processo *prouter-pe* checa se o sinal *update* é proveniente do roteador *ce*, ou do ambiente externo, através da verificação do número do sistema autônomo do sinal *update*. Para ambos os casos a nova rota transportada no sinal *update* é instalada na tabela *vrf* (procedimento *vrf-install*), e informada ao roteador *ce* (bloco *routermpbgp-ce*) para o sinal *update* vindo do roteador *pe* (ambiente externo), ou informada aos roteadores *pe* para o sinal *update* vindo do roteador *ce* (bloco *routermpbgp-ce*).

IV. ANÁLISE DE DESEMPENHO

A análise de desempenho realizada visa estudar o comportamento das aplicações dos clientes *vpn* para cenários sem nenhuma implementação de qualidade de serviço e com a implementação de qualidade de serviço através do uso do mapeamento de prioridades da arquitetura de serviços dife-

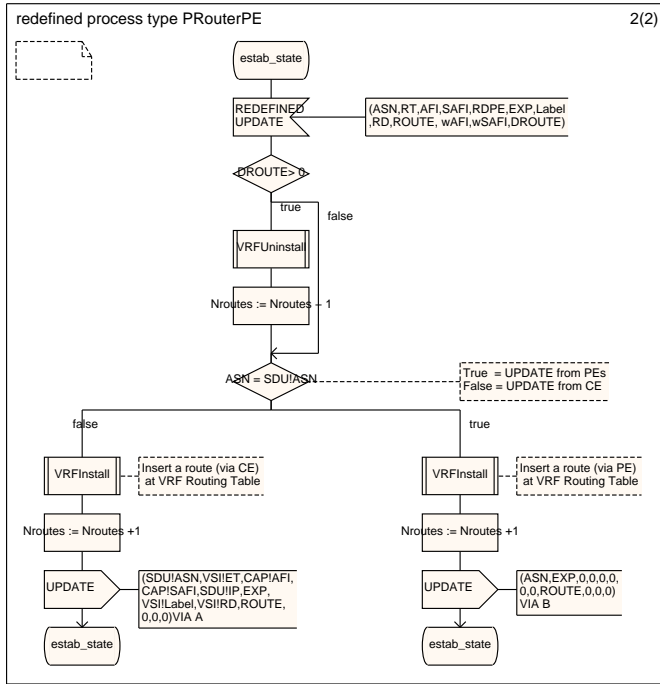


Fig. 3. Redefinição do processo *prouter-pe* - estado *established*

enciados (arquitetura *difsserv*) na rede *mpls* do provedor de serviço.

Esta análise apresenta simulações do transporte de diferentes serviços como voz, vídeo e dados, sobre uma infraestrutura de provedor baseado na arquitetura *vpn-mpls*, com e sem a implementação de qualidade de serviço. Tendo como finalidade a comparação do desempenho das aplicações frente a implementação de qualidade de serviço, utilizada na proposta de expansão da arquitetura *vpn mpls*. É importante ressaltar que os cenários simulados visam validar a proposta de expansão da arquitetura *vpn-mpls*, através do uso do mapeamento da arquitetura de serviços diferenciados nos rótulos *mpls* da rede do provedor de serviço.

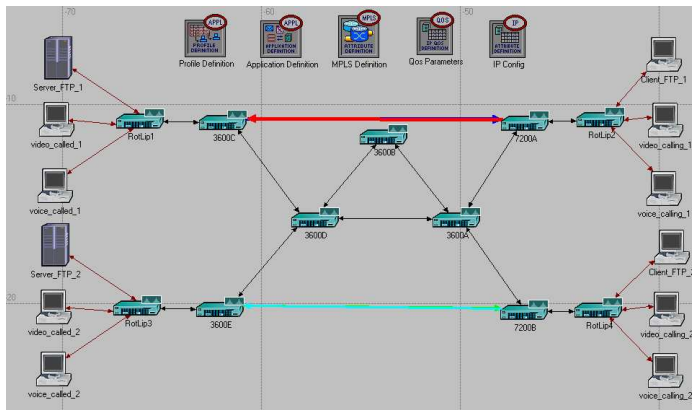


Fig. 4. Topologia da rede simulada no *Opnet*

Os cenários simulados fazem uso da mesma topologia de rede (figura 4), mas distinguem-se basicamente pelo tipo de implementação de qualidade de serviço utilizada, descritos como:

- *Cenário de melhor esforço*: também denominado cenário *best effort*, representa o cenário da arquitetura *vpn-mpls* sem nenhuma implementação de qualidade de serviço.
- *Cenário com combinação de serviços diferenciados e mpls*: expansão do cenário de melhor esforço com a implementação do mapeamento entre as classes de serviço da arquitetura de serviços diferenciados implementado no cliente *vpn*, nos rótulos *mpls* da rede do provedor.
- *Cenário com engenharia de tráfego*: expansão do cenário com combinação de serviços diferenciados e *mpls*, onde técnicas de engenharia de tráfego também são aplicadas.

A análise de desempenho dos cenários baseou-se nos resultados de vazão (bits/segundo) e atraso fim-a-fim (segundos) das aplicações dos clientes *vpn*. Os cenários analisados correspondem a um tempo de simulação de 3600 segundos (1 hora).

Na topologia da rede simulada, os roteadores 3600a, 3600b e 3600d representam os roteadores de núcleo do provedor de serviço (roteadores *p* da arquitetura *vpn-mpls*). Os roteadores 3600c, 3600e, 7200a e 7200b representam os roteadores de borda do provedor de serviço (roteadores *pe*). Os roteadores *rotlip1*, *rotlip2*, *rotlip3* e *rotlip4* são roteadores dos clientes *vpn* (roteadores *ce*). Os servidores e estações utilizados na construção da topologia são elementos de rede dos clientes *vpn(cliente-1 e cliente-2)*.

Nesta topologia os enlaces são *full duplex* de forma que o "gargalo" da rede ocorra no *backbone*, onde os enlaces entre os roteadores 3600a, 3600b e 3600d, que representam o núcleo (*backbone*) da rede do provedor de serviços, são de 6.5 Mbps. Os demais enlaces entre os roteadores, que representam a borda da rede e a rede dos clientes *vpn* (roteadores *pe* e roteadores *ce*), são de 10 Mbps. Entre os servidores de *ftp*, clientes *ftp* e estações de vídeo e de voz, que estão ligados aos roteadores dos clientes (*rotlip1*, *rotlip2*, *rotlip3* e *rotlip4*) são configurados enlaces de 10 Mbps.

Com o intuito de simular cenários reais, onde aplicações não prioritárias compartilham a rede com aplicações prioritárias, foram definidas três aplicações: aplicação de transferência de arquivo ou *ftp* (*file transfer protocol*) gerando 2.0 Mbps de tráfego, aplicação de vídeo (*vídeo conferência*) gerando 1.5 Mbps e aplicação de voz sobre *IP* (*voip*) gerando 20.0 Kbps, para cada cliente *vpn*.

O cenário de melhor esforço funciona como cenário de referência para os outros cenários de simulação, e representa o cenário da arquitetura *vpn-mpls* sem nenhuma implementação de qualidade de serviço. De acordo com a topologia da rede apresentada na figura 4 e as configurações das aplicações *ftp*, *vídeo* e *voip*, o *cliente-1* gera um tráfego total de 3.5 Mbps do instante de tempo de simulação 180 segundos até o final da simulação (instante 3600 segundos). As aplicações *ftp*, *vídeo* e *voip* do *cliente-2*, iniciadas nos instantes de tempo 1800, 900 e 900 segundos respectivamente, possuem as mesmas configurações feitas no *cliente-1*. Logo, o *cliente-2* também gera um tráfego total de 3.5 Mbps. Os tráfegos dos clientes *vpn* totalizam uma carga de tráfego de 7.0 Mbps imposta ao núcleo do provedor de serviço, que apresenta enlaces de 6.5 Mbps, ocorrendo concorrência entre as aplicações no acesso

a rede do provedor.

No segundo cenário, as redes dos clientes *vpn* implementam a arquitetura de serviços diferenciados, através do uso do campo *type of service* do *IP* para priorização das aplicações a fim de serem mapeados nos rótulos *mpls* da rede do provedor.

De acordo com a arquitetura de serviços diferenciados [17], as classes de serviço são classificadas como AF (*Assurance Forwarding*), EF (*Expedited Forwarding*) e BE (*Best Effort*). Dentro da classe AF, quatro sub-classes são padronizadas, indo da mais prioritária AF4x até a menos prioritária AF1x. O valor x nestas sub-classes podem variar de 1 a 3, representando a prioridade dentro de cada sub-classe, sendo a classe AF43 de maior prioridade dentro das sub-classes AF. A classe EF é a classe com o maior índice de prioridade, superando todas as sub-classes AF e a BE, sendo utilizada pela arquitetura de serviços diferenciados para priorizar o tráfego de sinalização da rede e tráfego de voz. A classe BE, também denominada classe de melhor esforço, é utilizada para tráfegos não prioritários, como transferência de arquivos (*ftp*).

Neste cenário, a priorização das aplicações no campo *type of service* são configuradas como sendo AF11 para todas as aplicações do *cliente-2* e AF21, AF41 e EF para as aplicações de *ftp*, *video* e *voip* do *cliente-1*, respectivamente. Para este cenário, a aplicação de *voip* do *cliente-1* é a mais prioritária seguida da aplicação de *video* e *ftp*, e as aplicações do *cliente-2* (*ftp*, *video* e *voip*) são as menos prioritárias.

O cenário com engenharia de tráfego tem como objetivo analisar os resultados de desempenho de cada aplicação fazendo uso da engenharia de tráfego na combinação de serviços diferenciados e *mpls*. A aplicação de engenharia de tráfego neste cenário visa a construção de caminhos comutados por rótulos (*lsp* - *label switching path*) com restrições mínimas de banda na rede *mpls* do provedor de serviço. Os *lsp*s estáticos criados na simulação, que interligam os sites dos clientes *vpn*, passam a possuir restrição mínima de banda com valor de 4 Mbps para estabelecimento do *lsp*s. Os *lsp*s estáticos utilizados pela simulação são representados na figura 4 pelas setas horizontais que interligam os roteadores 3600c e 7200a para o *cliente-1*, e os roteadores 3600e e 7200b para o *cliente-2*.

A figura 5 apresenta os resultados de vazão dos enlaces do núcleo da rede, entre os roteadores 3600d e 3600a (parte superior da figura 5) e entre os roteadores 3600d e 3600b (parte inferior da figura 5) para o primeiro e segundo cenário. Para os dois cenários, toda a carga média imposta à rede durante a simulação é transmitida no núcleo da rede pelo menor caminho (enlace 3600d-3600a), devido ao uso do algoritmo de caminho mais curto (*spf* - *shortest path first*) utilizado pelo protocolo *ospf* (*open shortest path first*) implementado nos roteadores da rede do provedor de serviço, deixando sub-utilizado o enlace 3600d-3600b, por onde trafega apenas a sinalização de roteamento.

Para o cenário com engenharia de tráfego, apresentado pela figura 6, o uso da rede do provedor de serviço é otimizado e garantido pelo parâmetro de banda mínima configurado no estabelecimento dos *lsp*s. Neste cenário os *lsp*s do *cliente-1* são estabelecidos entre os roteadores 3600c e 7200a (figura 4) passando pelo enlace 3600d-3600a, e os *lsp*s do *cliente-2*

são estabelecidos entre os roteadores 3600e e 7200b (figura 4) passando pelo enlace 3600d-3600b, pois o enlace 3600d-3600a não suporta o estabelecimento dos *lsp*s dos dois clientes devido a limitação de banda. Com isso, pode-se analisar na parte superior da figura 6 todo o tráfego das aplicações do *cliente-1* gerados desde o início da simulação com carga média de 3.5 Mbps sendo transmitidos através do enlace 3600d-3600a. A parte inferior da figura 6 apresenta a vazão do enlace 3600d-3600b, que é de 1.5 Mbps a partir do tempo de 15 minutos (900 segundos) representando as aplicações de *video* e *voip* do *cliente-2*, e aumenta para aproximadamente 3.5 Mbps a partir do tempo de 30 minutos (1800 segundos) com o início da aplicação *ftp* do *cliente-2*.

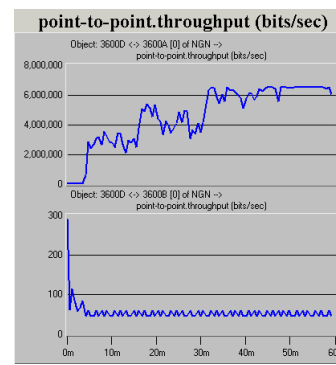


Fig. 5. Vazão dos enlaces 3600d-3600a e 3600d-3600b para o cenário de melhor esforço

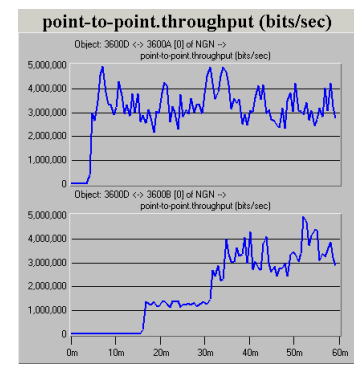


Fig. 6. Vazão dos enlaces 3600d-3600a e 3600d-3600b para o cenário com engenharia de tráfego

A figura 7 apresenta os resultados de atraso fim-a-fim da aplicação de *video* do *cliente-1* para os três cenários simulados. Para o cenário de melhor esforço todas as aplicações são tratadas pela rede da mesma forma, o valor de atraso fim-a-fim de *video* (figura 7), assim como o valor de atraso fim-a-fim da aplicação de *voip* (figura 9) do *cliente-1*, começam a piorar a partir do tempo de 30 minutos devido ao aumento da carga imposta à rede do provedor pelo início das aplicações do *cliente-2*. Para o cenário com combinação de serviços diferenciados e *mpls*, a aplicação de *video* do *cliente-1* é mapeada na classe AF41 que apresenta uma prioridade alta na rede em comparação com as outras aplicações, perdendo apenas para classe EF de *voip*. Com isso, o valor de atraso fim-a-fim da aplicação de *video* do *cliente-1* para este cenário (figura 7) apresenta valores pequenos em comparação com os valores de atraso fim-a-fim da aplicação de *video* do *cliente-2* (figura 8). O mesmo fato ocorre para o atraso fim-a-fim da aplicação de *voip* do *cliente-1* (figura 9), mapeada na classe EF, que apresenta resultados melhores em comparação com aplicação de *voip* do *cliente-2* (figura 10) mapeada na classe AF11.

No cenário com engenharia de tráfego, os valores de atraso fim-a-fim da aplicação de *video* do *cliente-1* (figura 7) e do *cliente-2* (figura 8) permanecem estáveis durante toda a simulação, visto que as aplicações do *cliente-2* não disputam o mesmo enlace com o *cliente-1*. O mesmo ocorre para a aplicação *voip* do *cliente-1* (figura 9) e do *cliente-2* (figura 10).

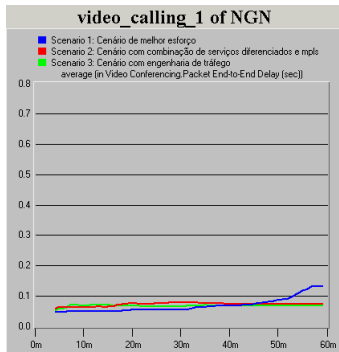


Fig. 7. Atraso fim-a-fim de pacote de vídeo do cliente-1

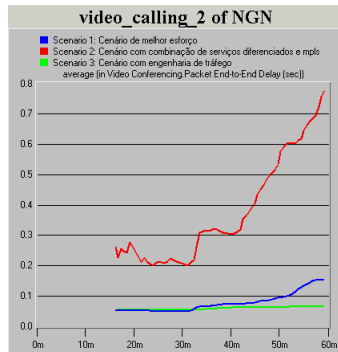


Fig. 8. Atraso fim-a-fim de pacote de vídeo do cliente-2

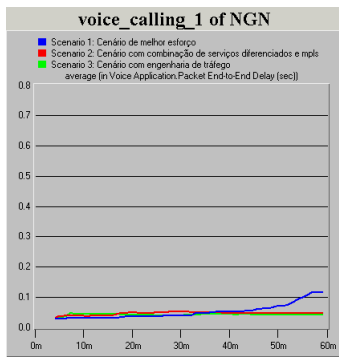


Fig. 9. Atraso fim-a-fim de pacote de voz do cliente-1

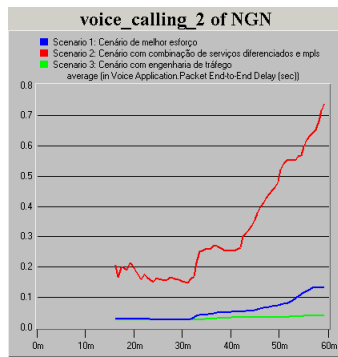


Fig. 10. Atraso fim-a-fim de pacote de voz do cliente-2

V. CONCLUSÕES

A provisão de qualidade de serviço é parte intrínseca dos serviços emergentes, como as redes privadas virtuais (*VPNs*). De acordo com a padronização do IETF para arquitetura *vpn-mpls* [4], uma solução de provimento de qualidade de serviço para esta arquitetura é a combinação da arquitetura de serviços diferenciados no cliente *vpn* com a rede *mpls* do provedor de serviço, estabelecendo-se um mapeamento estático de prioridade de tráfego na borda da rede do provedor de serviço.

Visando o estabelecimento de um mapeamento dinâmico de prioridades na borda da rede do provedor de serviços, onde o cliente *vpn* pode a qualquer instante criar e/ou modificar mapeamentos de prioridade, desenvolveu-se neste trabalho uma proposta de expansão da arquitetura *vpn-mpls* utilizando-se a linguagem de especificação formal *SDL*. Com a proposta de expansão da arquitetura criou-se um mecanismo de mapeamento dinâmico entre as prioridades dos clientes *vpn* e os acordos de nível de serviço contratados do provedor, através da inserção do parâmetro de prioridade de rota do cliente *vpn* na tabela *vrf*, e a modificação do protocolo *mbgp* para o transporte dos valores de prioridade de rota. Sendo assim, a medida que o cliente *vpn* possui aplicações que em determinados horários ou por determinados instantes de tempo não necessitem da mesma prioridade na rede do provedor, se torna possível a modificação dos parâmetros de prioridades a fim de reduzir custos com a contratação do serviço *vpn* ou garantir qualidade de serviço a outras aplicações que antes não

eram prioritárias.

Com a análise de desempenho realizada através do Opnet pode-se comparar o comportamento das aplicações dos clientes *vpn* para cenários sem nenhuma implementação de qualidade de serviço e com a implementação de qualidade de serviço, através do uso do mapeamento de prioridades da arquitetura de serviços diferenciados na rede *mpls* do provedor de serviço, técnica esta utilizada na proposta de expansão da arquitetura *vpn mpls*.

REFERÊNCIAS

- [1] M. Suzuki P. Knight B. Schliesser A. Nagarajan, J. Sumimoto. Applicability Statement for Virtual Router-based Layer 3 PPVPN approaches, February 2004. draft-ietf-l3vpn-as-vr-01.txt.
- [2] Telelogic AB. Telelogic TAU 4.2 SDL Suite Getting Started. Technical report, Telelogic AB Sweden, September 2001.
- [3] M. C. Castro. Propostas de implementação de qualidade de serviço na arquitetura VPN MPLS, utilizando linguagem de especificação formal *SDL* orientada a objetos e análise de desempenho utilizando o simulador OPNET. Msc, UNICAMP, Dezembro 2004. Tese de Mestrado em Engenharia Elétrica.
- [4] S. John Brannon C. J. Chase J. Clercq P. Hitchen D. Marshall M. J. Morrow A. Vedrenne E. C. Rosen, Y.Rekhter. BGP/MPLS IP VPNs, October 2004. draft-ietf-l3vpn-rfc2547bis-03.txt.
- [5] Y. Rekhter D. Farinacci T. Li A. Conta E. Rosen, G. Fedorkow. RFC 3032 - MPLS Label Stack Encoding, Janumary 2001.
- [6] S. Ganti W. C. Lau N. S. S. Van den Bosch F. Chiussi, J. Clercq. Framework for QoS in Provider-Provisioned VPNs, March 2003. draft-chiussi-ppvpn-qos-framework-01.txt.
- [7] B. Kang K. Jun H. Lee, J. Hwang. End-to-End QoS Architecture for VPNs: MPLS VPN Deployment in a Backbone Network. In *IEEE MILCOM 2000*, pages 479–483, 2000.
- [8] ITU-T. Rec. Y.1311.1 - Network-based IP VPNs over MPLS Architecture, July 2001. Rec. Y.1311.1.
- [9] ITU-T. Rec. Y.1311 - Network-based VPNs - Generic Architecture and Service Requirements, March 2002. Rec. Y.1311.
- [10] A. Krywaniuk J. Clercq, O. Paridaens. An Architecture for Provider Provisioned CE-Based Virtual Private Networks Using IPSec, February 2004. draft-ietf-l3vpn-ce-based-02.txt.
- [11] O. Paridaens J. Clrcq. Scalability Implications of Virtual Private Networks. *IEEE Communications Magazine*, pages 151–157, May 2002.
- [12] N. Ansari J. Zeng. Toward IP Virtual Private Network Quality of Service: A Service Provider Perspective. *IEEE Communications Magazine*, pages 113–119, April 2003.
- [13] J.Clercq. QoS considerations for L3 PPVPNs, February 2003. draft-declercq-ppvpn-l3vpn-qos-00.txt.
- [14] W. C. Borelli M. C. Castro, N. A. Nassif. QoS Performance Evaluation in BGP/MPLS VPN. *International Information and Telecommunication Technologies Symposium - I2TS'2003, Florianópolis-SC*, Novembro 2003.
- [15] G. Wright B. Gleeson T. Sloane R. Bubenik C. Sargor I. Negusse J. Yu P. Knight, H. Ould-Brahim. Network based IP VPN Architecture using Virtual Routers, April 2004. draft-ietf-l3vpn-vpn-vr-02.txt.
- [16] E. C. Rosen. Applicability Statement for BGP/MPLS IP VPNs, October 2004. draft-ietf-ppvpn-as2547-07.txt.
- [17] M. Carlson E. Davies Z. Wang W. Weiss S. Blake, D. Black. RFC 2475 - An Architecture for Differentiated Services, December 1998.
- [18] R. Chandra D. Katz T. Bates, Y. Rekhter. RFC 2858 - Multiprotocol Extensions for BGP-4, June 2000.
- [19] T. Li Y. Rekhter. RFC 1771 - A Border Gateway Protocol 4 (BGP-4), March 1995.